

KAWASAKI STEEL GIHO

Vol.18 (1986) No.4

---

9 Ni

Mechanical Properties of 9 Ni Steel Plate Produced from Continuously Cast Slab

(Ryoji Kinaka)

(Osamu Furukimi)

(Takahiro Kubo)

(Taketo Okumura)

(Masahiro Shingyoji)

(Junichi

Kudo)

---

:

LNG 9 Ni P 0.006 S 0.002

(MACS-T)

(RQ-T) MACS-T

MACS-T RQ-T

---

ously C-15-bont( )eTB2(y)-t1 -10(q4 2e.09 TK)5ud)3(o)]TJ Tm] -15-)TJn 0 01 -15-tem35

# 連続鋳造製 9% Ni 厚鋼板の材質特性\*

川崎製鉄技報  
18 (1986) 4, 327-333

## Mechanical Properties of 9% Ni Steel Plate Produced

by Continuous Casting

III



木中 良次  
Ryoji Kinaka



古君 修  
Osamu Furukimi



久保 高宏  
Takahiro Kubo

### 要旨

LNG 貯槽用 9% Ni 厚鋼板を、P を 0.006% 以下、S を 0.002% 以下に低減した高純度連続鋳造製スラブを用い、直接焼入れ焼もどし処理 (MACS-T) および再加熱焼入れ焼もどし処理 (RQ-T) で製造した。MACS-T プロセスでは、スラブ加熱温度および圧延仕上げ温度を高温化した。これは、析出オーステナイト層を低減することにより、延性破壊エネルギーを高めるためである。MACS-T および RQ-T 処理で製造した鋼板およびその溶接継手について、破壊力学試験により安全性評価をしたところ、良好な脆性破壊発生および脆性き裂伝播停止特性を有することが確認された。

は P, S それぞれ 0.002% および 0.001% まで低減している。また、焼もどし処理は 570°C で 60 min 間行った。

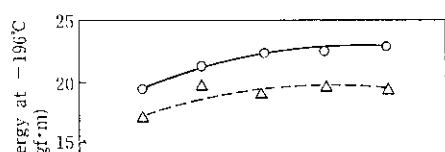
スラブ加熱温度および圧延仕上げ温度を変化させたときの、シャ

Table 1 Chemical composition of steel tested (%)

	C	Mn	Ni	P	S	Cr	Mo	V
	0.06	0.24	0.59	0.002	0.001	8.98	0.029	0.0037

ルピー衝撃試験と引張試験結果を Fig. 1 に示す。スラブ加熱温度および圧延仕上げ温度を高温にするに従い、-196°C でのシャルピー吸収エネルギーは増加した。破面は 100% の延性を示したので、Fig. 1 に示された吸収エネルギーは延性破壊エネルギーである。これは、低 P および低 S 化したため、-196°C では脆性破壊が生じなかつたことによる。この延性破壊エネルギーの増加は、焼もどし処

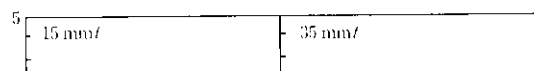
らかにされている<sup>4)</sup>。スラブ加熱温度および圧延仕上げ温度を低温化すると焼もどし時のオーステナイトへの変態核サイトが増加する



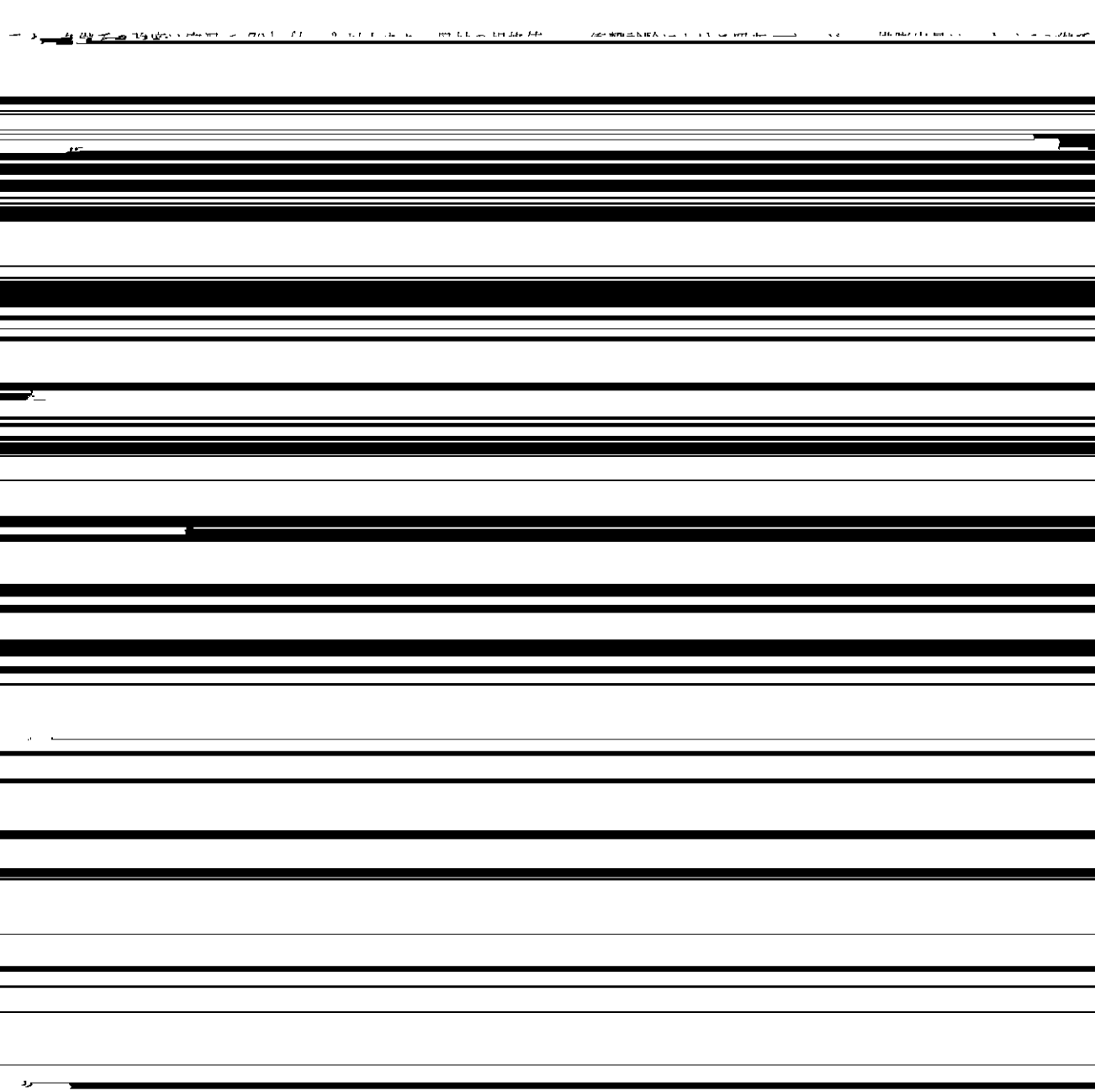
になるに従い析出オーステナイトは増加する。この析出オーステナイト相は微小ディンプルの生成の原因となり、延性破壊エネルギーを低下させる。また、引張強さおよび降伏点は、スラブ加熱温度にはよらず、圧延仕上げ温度の低温側でわずかに増加した。

↓  
LD refining (150 ton)  
↓  
Degassing (Ar gas injection)

一衝撃試験を行った。ひずみ時効材は、5% のひずみを室温でC方向に付与し、その後 250°C で 60 min 間の時効処理を施し試験に供した。PWHT 条件は、温度も 560°C、保持時間も板厚 6 mm で



### 3.2 溶接継手性能



を満足していた。縦ビード曲げ試験により、いずれの継手も良好な  
延性を示すことが確認された。溶接継手部の溶接金属中の非

いてノッチ位置にかかる母材の規格値を満足しており、また、  
RC-T および MACS-T の屈折強度を測定したところ、

Table 6 Center-notched-cross-welded-joint tension test results

Welding Solder	Specimen dimensions (mm)	Test temperature	Maximum stress (kgf/mm <sup>2</sup> )	$K_c$	Clip gage opening displacement $V_g$ (mm)	Critical COD $\delta_c$ (mm)
-------------------	-----------------------------	------------------	--	-------	---	------------------------------

相手方略  
平成10年1月20日付ノルマニル15号

1

(6) 溶接部の限界 COD  $\sigma_c = 0.2 \text{ mm}$  (MACS-T 材の最小値)

ここで,  $c$  は停止き裂長さ,  $W$  は試験片幅である。したがって,